

Classification non supervisée - Introduction

Cathy Maugis-Rabusseau

4modIA / INSA Toulouse & ENSEEIHT

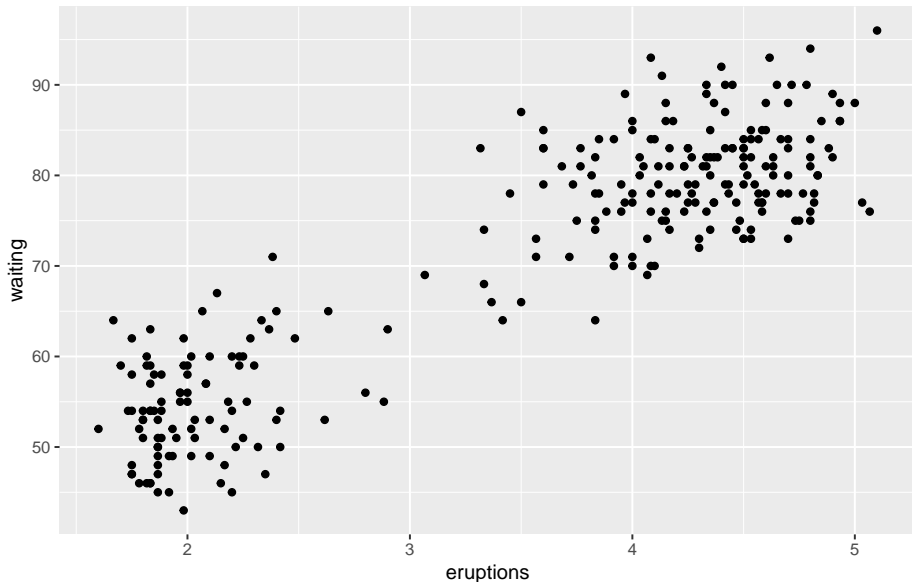
2022-2023

Plan

- 1 Exemples introductifs
- 2 Principe du clustering
- 3 Outils pour comparer des clusterings
- 4 Suite du cours

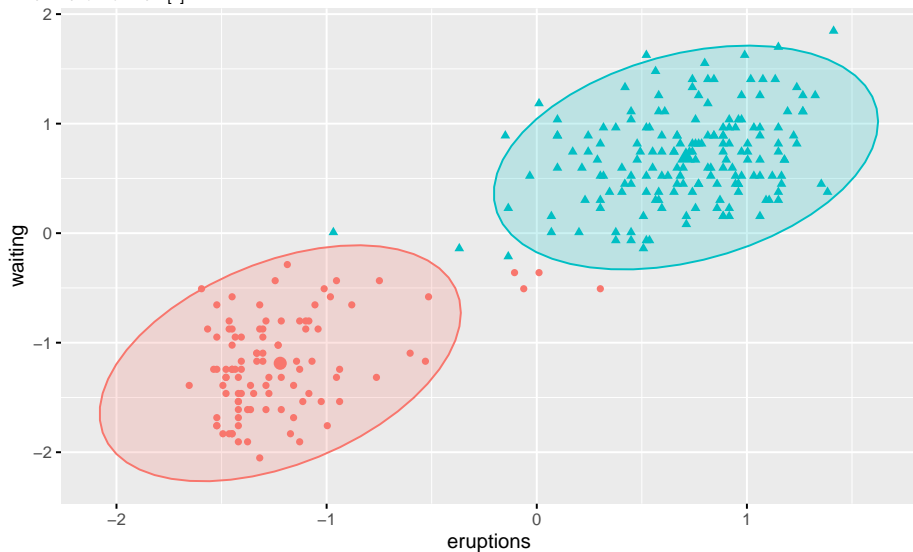
Old Faithful Geyser Data

Azzalini and Bowman [2]



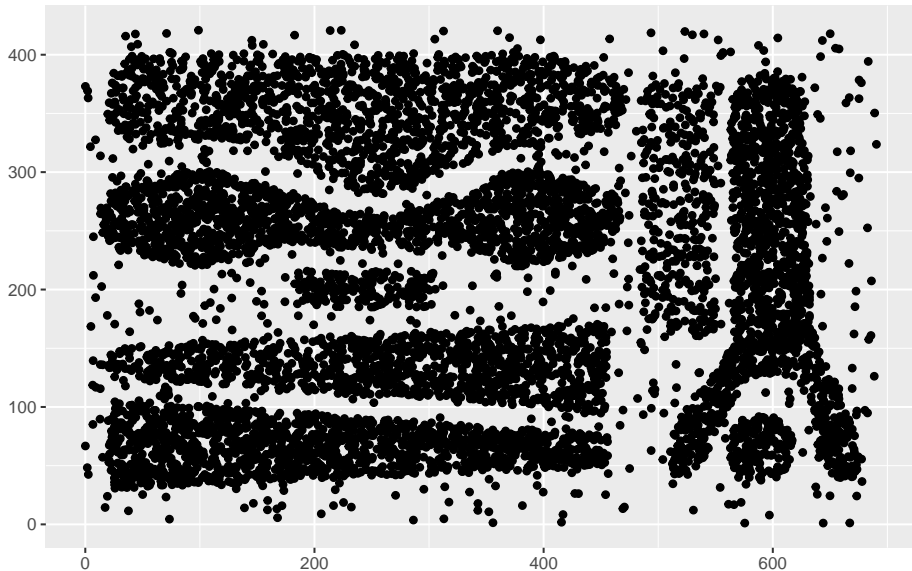
Old Faithful Geyser Data

Azzalini and Bowman [2]

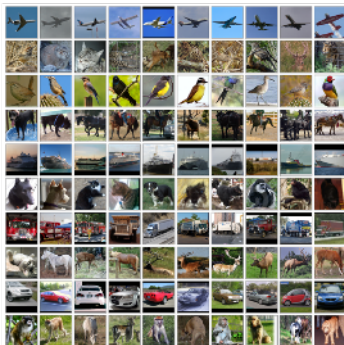


Exemple de classification non supervisée de formes

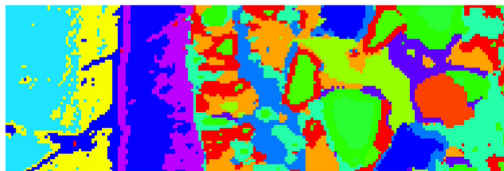
George and Eui-Hong [5]



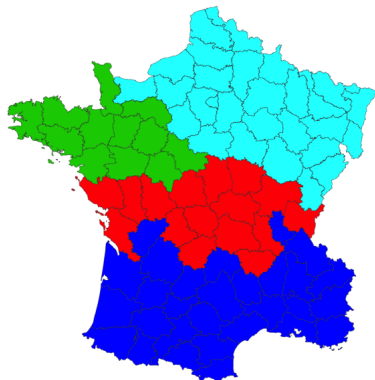
Exemple de classification non supervisée d'images



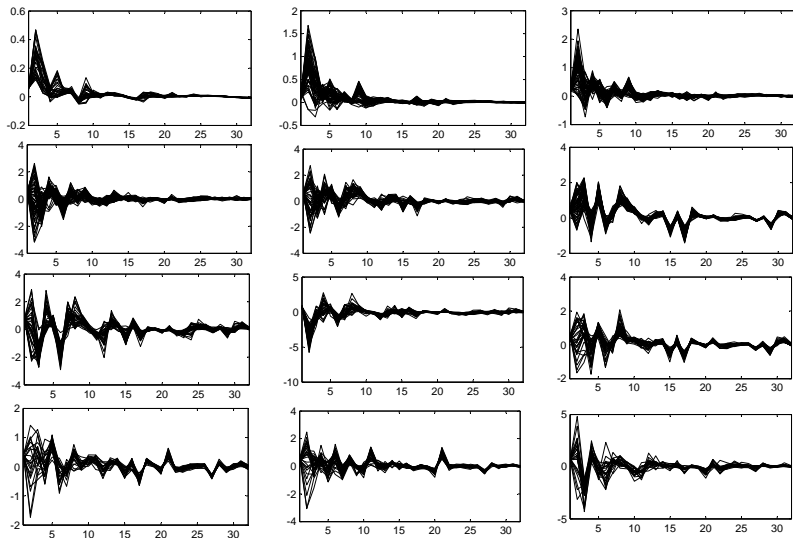
Exemple avec contraintes spatiales



Le Pennec and Cohen (2011)



Exemple de clustering de courbes



Plan

- 1 Exemples introductifs
- 2 Principe du clustering**
- 3 Outils pour comparer des clusterings
- 4 Suite du cours

Les données

- On observe n individus décrits par p variables

$$\mathbf{X} = \begin{bmatrix} x_{11} & x_{12} & \dots & x_{1p} \\ x_{21} & x_{22} & \dots & x_{2p} \\ \vdots & \vdots & \vdots & \vdots \\ x_{n1} & x_{n2} & \dots & x_{np} \end{bmatrix} \quad \text{avec } \mathbf{x}_i = (x_{i1}, \dots, x_{ip}) \in \mathcal{X}$$

- L'ensemble \mathcal{X} peut-être très variable : $\mathcal{X} = \mathbb{R}^p, \{0, 1\}^p,]-\pi, \pi]^p, \mathbb{R}^q \times \{0, 1\}^{p-q}, \dots$
- On peut partir du
 - ▶ Tableau initial des mesures
 - ▶ Tableau des mesures transformées
 - ▶ Tableau des coordonnées après une réduction de dimension

Objectif du clustering

- Soit \mathbf{X} la matrice de données décrivant n individus
- **Classification** : organisation d'un ensemble d'individus hétérogènes en un ensemble de classes homogènes
- **Non supervisée** : on ne dispose d'aucune partition a priori des n individus et on ne connaît pas le nombre de classes K .



Déterminer K classes $\mathcal{P}_K = \{\mathcal{C}_1, \dots, \mathcal{C}_K\}$ des n individus à partir de \mathbf{X} telles qu'une classe est une collection d'individus **similaires** entre eux et **dissimilaires** aux individus des autres classes (classes bien séparées).

Impossibilité d'une recherche exhaustive

- On n'abordera ici que des méthodes de "classification dure" : un individu n'appartient qu'à une seule classe

$$\forall i \in \{1, \dots, n\}, \exists ! k \in \{1, \dots, K\}; i \in \mathcal{C}_k.$$

- Recherche exhaustive:

Le nombre de partitions d'un ensemble de n individus en K classes (nombre de Stirling de 2ème espèce)

$$\frac{1}{K!} \sum_{j=0}^K (-1)^j (K-j)^n C_K^j$$

- $\simeq 10^{47}$ partitions de $n = 100$ individus en $K = 3$ classes
- $\simeq 10^{68}$ partitions de $n = 100$ individus en $K = 5$ classes

\implies recherche exhaustive impossible.

Vocabulaire

Attention à la confusion de terminologie entre le français et l'anglais!

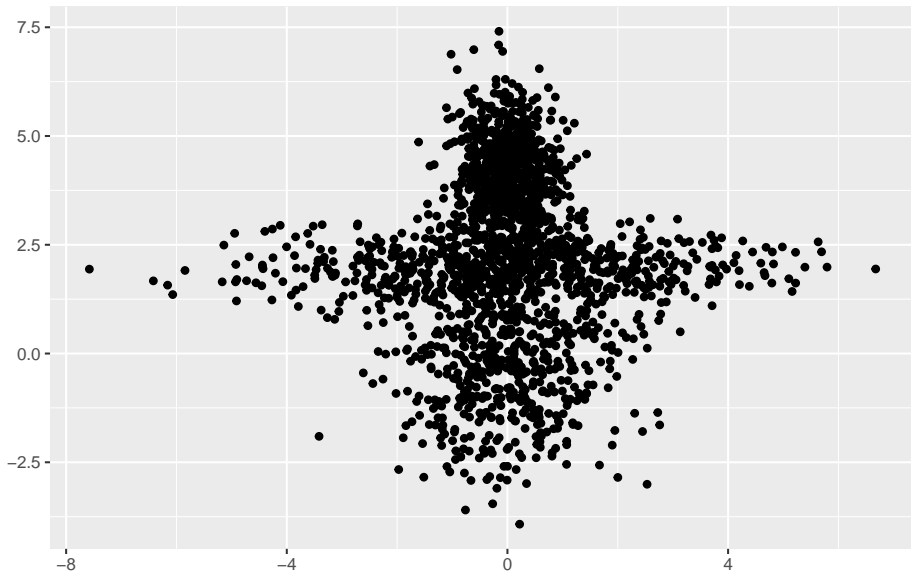
- **Classification non supervisée** : On ne connaît rien a priori sur les classes

En anglais : **Clustering** (unsupervised classification)

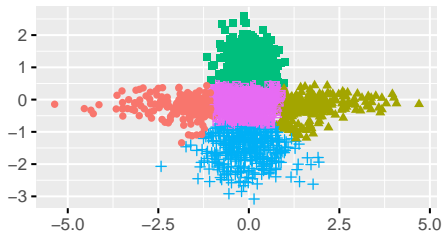
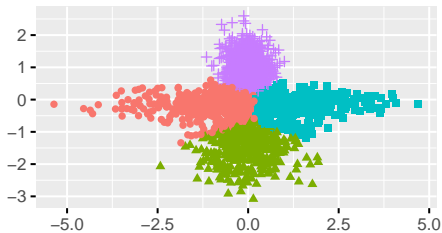
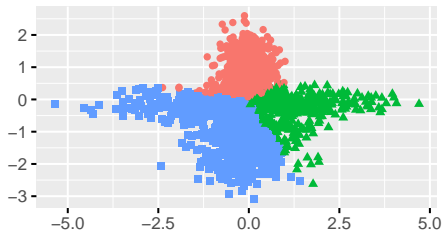
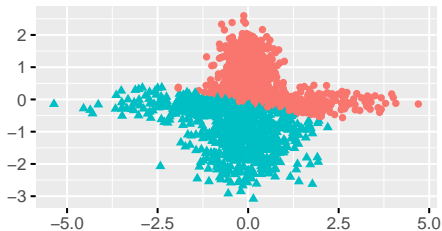
- **Classification supervisée** : On veut classer un nouvel individu à partir de la connaissance de classes définies a priori.

En anglais : **Classification, discriminant analysis**

Combien de classes ?



Combien de classes ?



Catégories de méthodes

- Les méthodes de clustering peuvent se différencier par
 - ▶ Type de “ressemblance” entre individus en terme de distance, de distribution de probabilité ...
 - ▶ Type de “partitionnement” : hard ou fuzzy clustering
- Grandes catégories de méthodes :
 - ▶ Méthodes fondées sur une distance : méthodes hiérarchiques, méthodes par partitionnement, ...
 - ▶ Méthodes basées sur la distribution probabiliste des données
 - ▶ Méthodes basées sur les réseaux de neurones
 - ▶ ...

Plan

- 1 Exemples introductifs
- 2 Principe du clustering
- 3 Outils pour comparer des clusterings**
- 4 Suite du cours

Comment comparer deux clusterings ?

- On suppose que l'on a obtenu deux partitions à partir des mêmes données **X**

$$\mathcal{P}_K = \{\mathcal{C}_1, \dots, \mathcal{C}_K\} \text{ et } \tilde{\mathcal{P}}_{\tilde{K}} = \{\tilde{\mathcal{C}}_1, \dots, \tilde{\mathcal{C}}_{\tilde{K}}\}$$

- Les nombres de classes K et \tilde{K} peuvent être différents !
- Question : comment comparer ces deux classifications ?

Table de contingence

- On peut utiliser une **table de contingence** pour observer si des classes sont communes, des classes sont splittées, ...

| | \tilde{C}_1 | \tilde{C}_2 | ... | $\tilde{C}_{\tilde{K}}$ | Sums |
|----------|---------------|---------------|----------|-------------------------|----------|
| C_1 | n_{11} | n_{12} | ... | $n_{1\tilde{K}}$ | a_1 |
| C_2 | n_{21} | n_{22} | ... | $n_{2\tilde{K}}$ | a_2 |
| \vdots | \vdots | \vdots | \vdots | \vdots | \vdots |
| C_K | n_{K1} | n_{K2} | ... | $n_{K\tilde{K}}$ | a_K |
| Sums | b_1 | b_2 | ... | $b_{\tilde{K}}$ | n |

avec $n_{k\ell} = \# \{i \in \{1, \dots, n\}; i \in C_k \cap \tilde{C}_\ell\}$, $a_k = \sum_{\ell=1}^{\tilde{K}} n_{k\ell}$ et $b_\ell = \sum_{k=1}^K n_{k\ell}$.

- Exemple : Classification en 2 et 4 classes

| | clust2 | | | | |
|--------|--------|----|----|----|-----|
| clust1 | 1 | 2 | 3 | 4 | Sum |
| 1 | 25 | 45 | 0 | 27 | 97 |
| 2 | 3 | 0 | 50 | 0 | 53 |
| Sum | 28 | 45 | 50 | 27 | 150 |

Rand Index (RI)

$$RI(\mathcal{P}_K, \tilde{\mathcal{P}}_{\tilde{K}}) = \frac{A + D}{A + B + C + D}$$

avec

| | | | | | |
|-------|-----------------------|---------|-------------------------|---------|--|
| $A =$ | Nb de paires d'indiv. | groupés | dans \mathcal{P}_K et | groupés | dans $\tilde{\mathcal{P}}_{\tilde{K}}$ |
| $B =$ | " " | groupés | " " | séparés | " " |
| $C =$ | " " | séparés | " " | groupés | " " |
| $D =$ | " " | séparés | " " | séparés | " " |

- RI = proportion de paires de points qui sont groupées de la même façon dans les deux partitions.
- Quand $a_k = \sum_{\ell=1}^{\tilde{K}} n_{k\ell}$, on utilise plutôt la version normalisée ARI (Adjusted Rand Index).

Adjusted Rand Index (ARI)

$$ARI(\mathcal{P}_K, \tilde{\mathcal{P}}_{\tilde{K}}) = \frac{RI - \mathbb{E}[RI]}{\max(RI) - \mathbb{E}[RI]}$$

avec

- $\mathbb{E}(RI)$ = indice obtenu en partitionnant les données au hasard
$$= \left[\sum_k \binom{a_k}{2} \sum_\ell \binom{b_\ell}{2} \right] / \binom{n}{2}$$
- $RI = \sum_{k\ell} \binom{n_{k\ell}}{2}$
- $\max(RI) = \frac{1}{2} \left[\sum_k \binom{a_k}{2} + \sum_\ell \binom{b_\ell}{2} \right]$

Plus le ARI est proche de 1, plus les deux partitions se ressemblent

Adjusted Rand Index (ARI)

- Exemple :

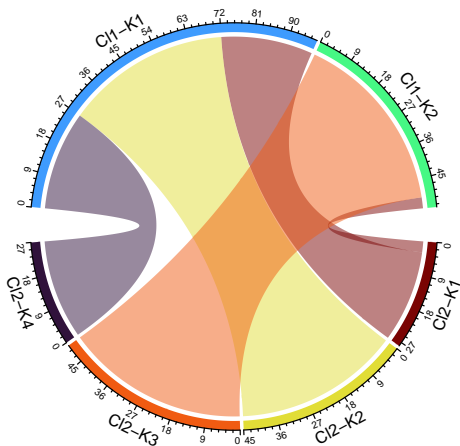
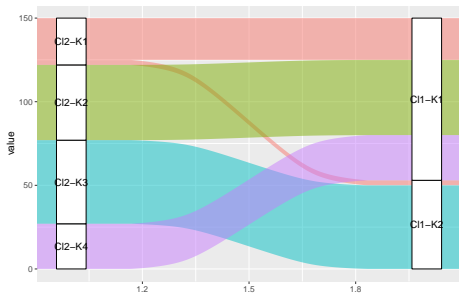
```
addmargins(table(clust1,clust2))
```

| | clust2 | | | | |
|--------|--------|----|----|----|-----|
| clust1 | 1 | 2 | 3 | 4 | Sum |
| 1 | 25 | 45 | 0 | 27 | 97 |
| 2 | 3 | 0 | 50 | 0 | 53 |
| Sum | 28 | 45 | 50 | 27 | 150 |

```
adjustedRandIndex(clust1,clust2)
```

```
[1] 0.4412583
```

Quelques outils de visualisation



Plan

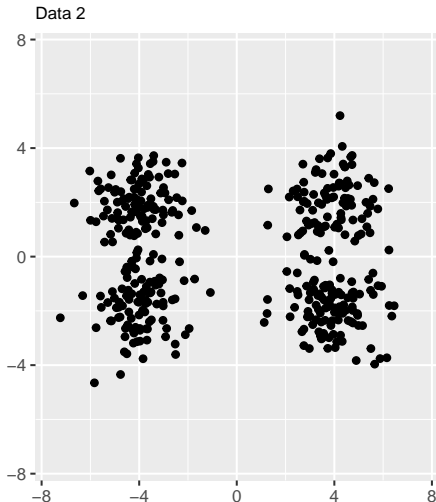
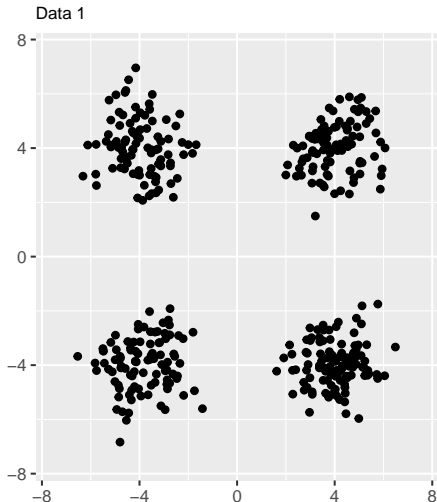
- 1 Exemples introductifs
- 2 Principe du clustering
- 3 Outils pour comparer des clusterings
- 4 Suite du cours

Plan du cours

- Chapitre 1 : (Dis)similarités, distances et inerties
- Chapitre 2 : Classification non supervisée par partitionnement et DBSCAN
- Chapitre 3 : Classification non supervisée hiérarchique
- Chapitre 4 : Classification par modèles de mélanges finis

Données simulées Data1 et Data2

- Jeux de données jouet ($n = 400$, $p = 2$)



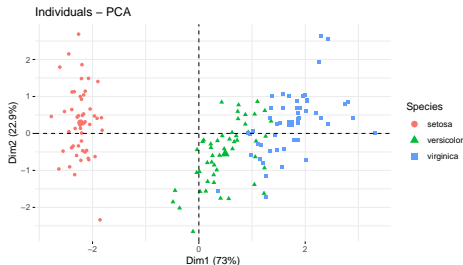
Données Iris [1]

- 3 espèces d'iris : setosa (50), versicolor (50) et virginica (50)
- Mesures en centimètres de longueur du sépale, largeur du sépale, longueur du pétale et largeur du pétale

| | Sepal.Length | Sepal.Width | Petal.Length | Petal.Width | Species |
|---|--------------|-------------|--------------|-------------|---------|
| 1 | 5.1 | 3.5 | 1.4 | 0.2 | setosa |
| 2 | 4.9 | 3.0 | 1.4 | 0.2 | setosa |
| 3 | 4.7 | 3.2 | 1.3 | 0.2 | setosa |
| 4 | 4.6 | 3.1 | 1.5 | 0.2 | setosa |
| 5 | 5.0 | 3.6 | 1.4 | 0.2 | setosa |
| 6 | 5.4 | 3.9 | 1.7 | 0.4 | setosa |



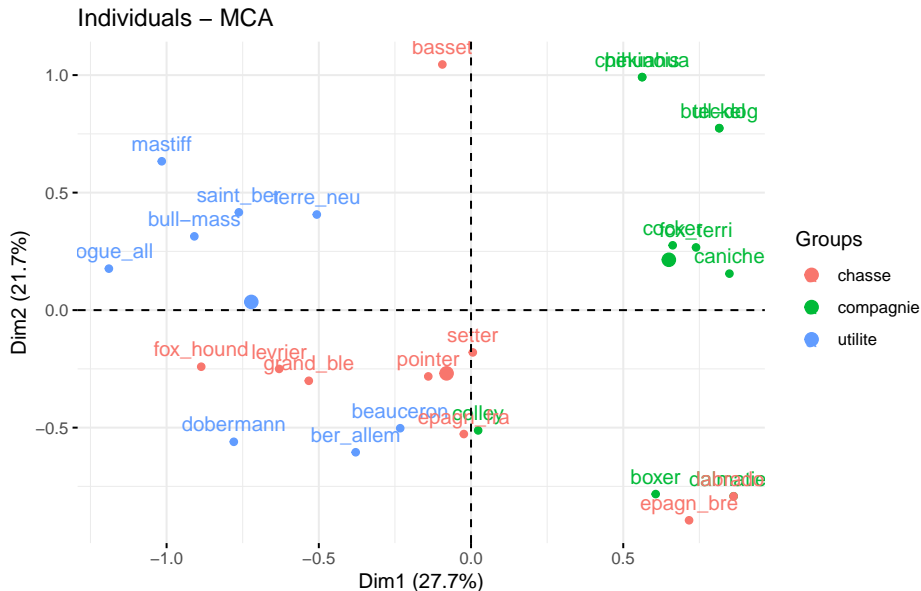
FIG. 2 – *I.setosa*, *I.versicolor*, *I.Virginica*



Données Races de chien [3]

- Données : 27 races de chiens décrites par 6 variables
- 6 variables descriptives qualitatives :
 - ▶ taille : petite (1), moyenne (2), grande (3)
 - ▶ poids : petite (1), moyenne (2), grande (3)
 - ▶ vitesse : petite (1), moyenne (2), grande (3)
 - ▶ intelligence : petite (1), moyenne (2), grande (3)
 - ▶ affectation : faible (1), forte (2)
 - ▶ agressivité : faible (1), forte (2)
- 1 autre variable "fonction" : compagnie (1), chasse (2), utilité (3)

Données Races de chien



Données de maladie du coeur [4]

- $n = 270$ individus
- Variables binaires: sexe, sucre dans le sang à jeun $> 120\text{mg/dl}$, angine induite par l'effort
- Variables nominales: douleurs à la poitrine (4 types), résultat électrocardiographique au repos (3 types), ...
- Variables réelles: Age, pression artérielle au repos, taux de cholestérol, fréquence cardiaque maximale atteinte, ...
- Données disponibles sur le site de l'UCI ([Lien](#))

| | Age | Sex | ChestPainType | RestBloodPressure | SerumCholestoral | FastingBloodSugar | |
|---|-------------------------|--------------|-----------------|-------------------|------------------|-------------------|--|
| 1 | 70 | 1 | 4 | 130 | 322 | 0 | |
| 2 | 67 | 0 | 3 | 115 | 564 | 0 | |
| 3 | 57 | 1 | 2 | 124 | 261 | 0 | |
| 4 | 64 | 1 | 4 | 128 | 263 | 0 | |
| 5 | 74 | 0 | 2 | 120 | 269 | 0 | |
| 6 | 65 | 1 | 4 | 120 | 177 | 0 | |
| | ResElectrocardiographic | MaxHeartRate | ExerciseInduced | Slope | MajorVessels | Thal | |
| 1 | 2 | 109 | 0 | 2 | 3 | 3 | |
| 2 | 2 | 160 | 0 | 2 | 0 | 7 | |
| 3 | 0 | 141 | 0 | 1 | 0 | 7 | |
| 4 | 0 | 105 | 1 | 2 | 1 | 7 | |
| 5 | 2 | 121 | 1 | 1 | 1 | 3 | |
| 6 | 0 | 140 | 0 | 1 | 0 | 7 | |

References I

- [1] Edgar Anderson. “The irises of the Gaspé Peninsula”. In: *Bull. Am. Iris Soc.* 59 (1935), pp. 2–5.
- [2] Adelchi Azzalini and Adrian W Bowman. “A look at some data on the Old Faithful geyser”. In: *Journal of the Royal Statistical Society: Series C (Applied Statistics)* 39.3 (1990), pp. 357–365.
- [3] A Bréfort. “L’étude des races canines à partir de leurs caractéristiques qualitatives”. In: *Groupe HEC-Jouy en Josas* (1982).
- [4] John Crowley and Marie Hu. “Covariance analysis of heart transplant survival data”. In: *Journal of the American Statistical Association* 72.357 (1977), pp. 27–36.
- [5] Karypis George and Han Eui-Hong. “Hierarchical clustering using dynamic modelling”. In: *Computer* 4 (1999), pp. 68–75.